

3-18 1992年2月2日浦賀水道付近の地震前後の油壺・鋸山における歪・傾斜変化

Change in strain and tilt observed before and after the
1992 Uruga channel Earthquake

東京大学地震研究所

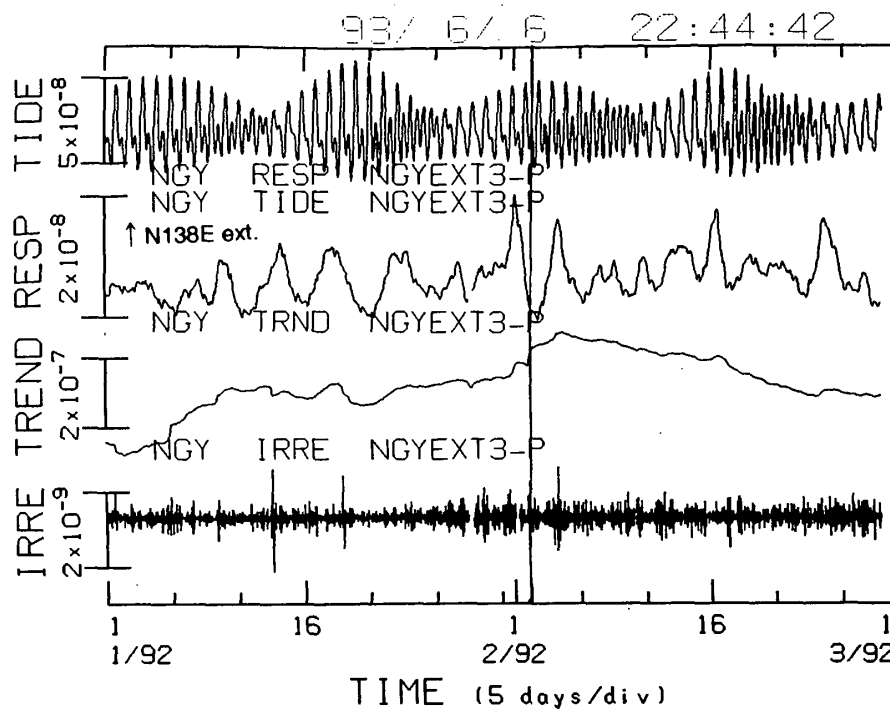
地殻変動研究部門

Earthquake Research Institute, The University of Tokyo

BAYTAP-G¹⁾を用いて観測された歪, 傾斜変化を潮汐, 気圧応答, トレンド, 不規則成分に分けて, 地震前後の油壺, 鋸山両観測所で観測された歪, 傾斜変化を検討した。気圧変化は鋸山観測所において観測されたものを用いた。第1図に観測された歪変化を各成分に分けた例を, 第2, 3図には地震前後2か月間のトレンドを示す。第4図には油壺, 鋸山観測所の位置と震央を示す。第5, 6図には地震前後2年間のトレンドの変化を示す。Igarashi et al. (1992)²⁾は1992年2月2日に浦賀水道付近発生した地震に伴う前兆的な水位変化を見いだしたが, 油壺, 鋸山観測所では全体的に見て地震の前兆と考えられる変化は観測されていない。

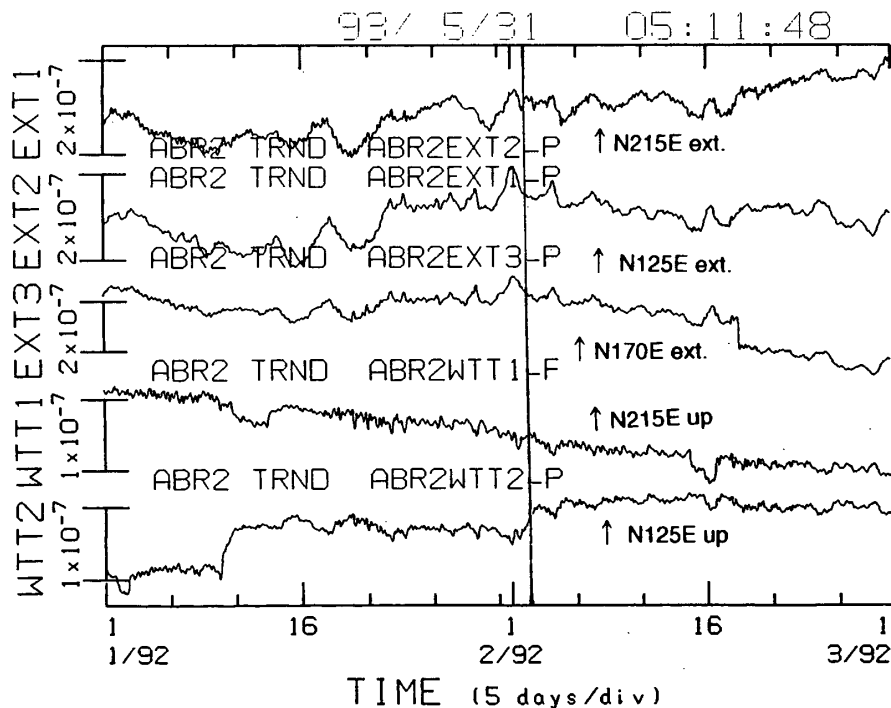
参 考 文 献

- 1) Ishiguro, M., H. Akaike, M. Ooe and S. Nakai, A Bayesian approach to the analysis of Earth Tides, Proc. 9th Int. Sympos. Earth Tides, Ed. J. T. Kuo, pp.283-292, E. Schweizerbart'sche Verlagsbuchhandlung, 1983, Stuttgart.
- 2) Igarashi, G., H. Wakita and T. Sato, Precursory and coseismic anomalies in well water levels observed for the february 2,1992 Tokyo Bay Earthquake, Geophys. Res. Lett., 19(1992), 1583-1586.
- 3) 東京大学地震研究所地震予知観測室, 第99回地震予知連絡会資料, 1992年2月.



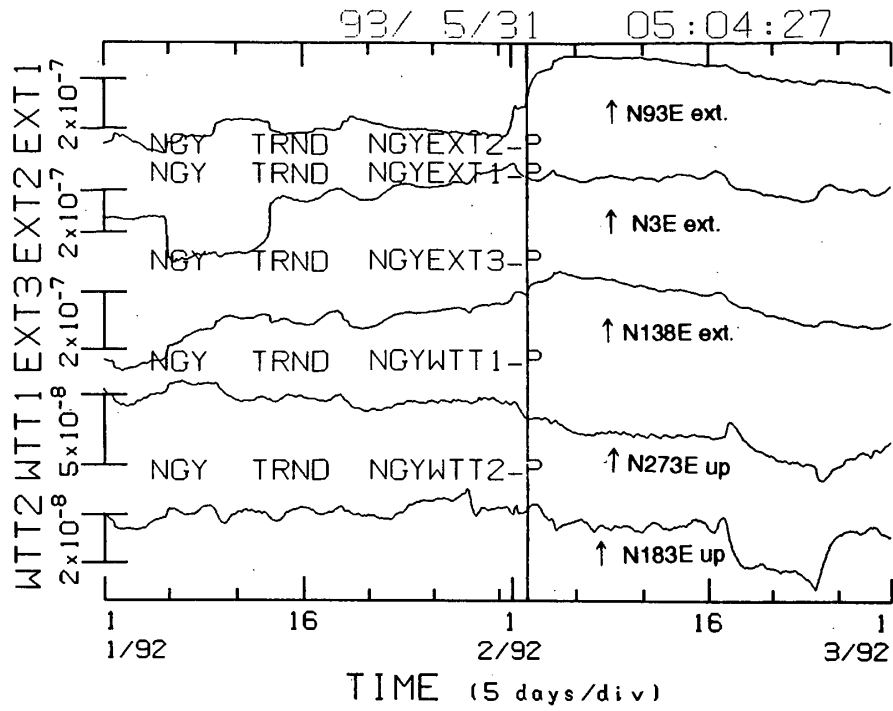
第1図 BAYTAP-Gを用いたトレンドの推定例(鋸山観測所, 伸縮計, 1992年1月~2月) 上段から潮汐, 気圧応答, ティレンド, 残差の各成分

Fig.1 An example of estimated trend by using BAYTAP-G observed at Nokogiriyama Observatory from January to February, 1992. Traces are denoted tide, response of atmospheric pressure, trend and irregular component, respectively.



第2図 油壺におけるトレンド (1992年1月~2月)

Fig.2 Trend components at Aburatsubo Observatory (January-February, 1992).



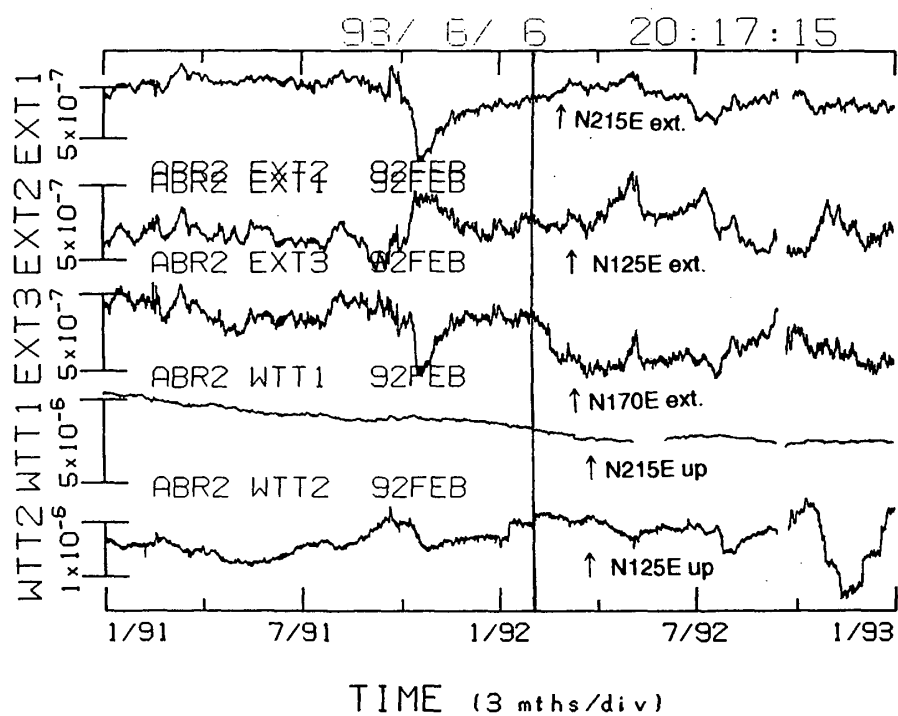
第3図 鋸山におけるトレンド (1992年1月～2月)

Fig.3 Trend components at Nokogiriyama Observatory (January–February, 1992).



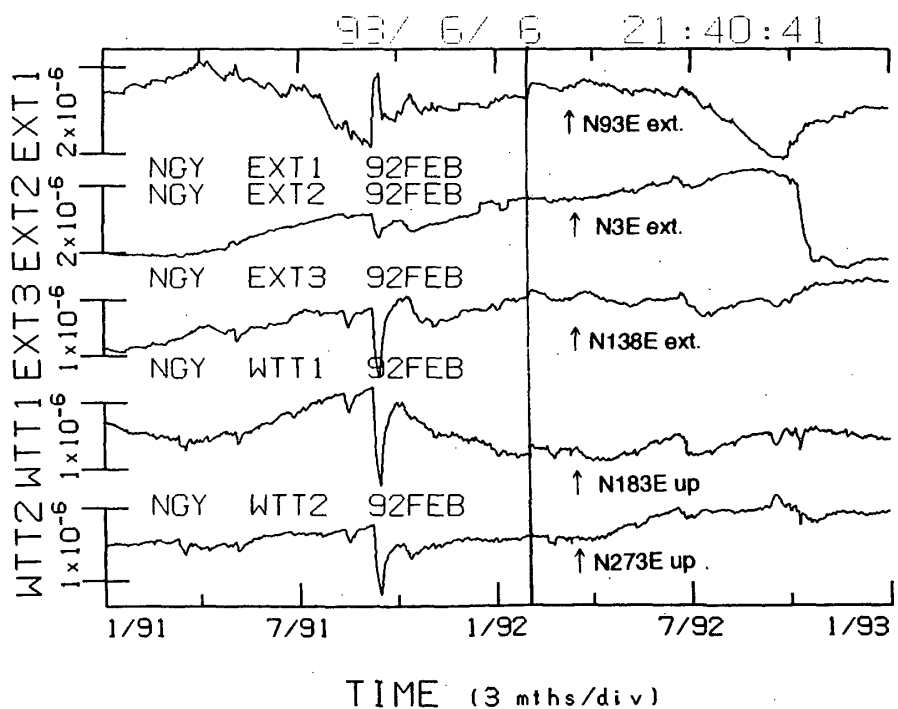
第4図 観測点配置図と浦賀水道に発生した地震 (M5.9) の震央 (★印, 東京大学地震研究所地震予知観測室 (1992) による)。

Fig.4 Location of observatories and epicenter (★) occurred around the Uraga channel (M5.9).



第5図 油壺におけるトレンド (1991年1月~1992年12月)

Fig.5 Trend components at Aburatsubo Observatory (January, 1991–December, 1992).



第6図 鋸山におけるトレンド (1991年1月~1992年12月)

Fig.6 Trend components at Nokogiriyama Observatory (January, 1991–December, 1992).